

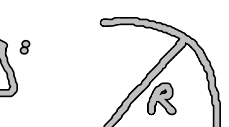
$$E = \frac{1}{2} k_B T \int_0^{L_{\text{tot}}} ds A \beta^2 \quad (9.5)$$

$\beta = \frac{dt}{ds}$, $\hat{t} = \frac{dr}{ds}$

... einfaches elastisches Stab - Modell

9.1.3 Persistenzlänge

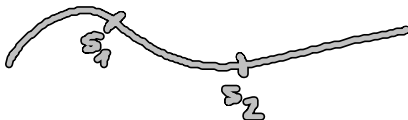
- Zufallsweg-Konformationen?

- 90° -Krümmung:  $E = \frac{1}{2} k_B T A \frac{2\pi R}{4} \frac{1}{R^2} = \frac{\pi A}{4R} k_B T \quad (9.6)$

$$R \gg A \rightarrow E \ll k_B T \rightarrow L_{\text{tot}} \gg A \hat{t} \approx \text{Zufallskonfiguration}$$

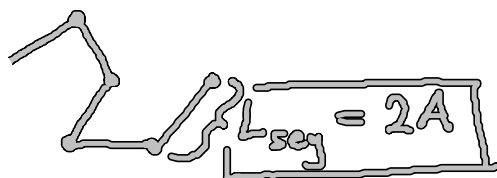
- Autokorrelationsfkt:

$$\langle \hat{t}(s_1) \cdot \hat{t}(s_2) \rangle \stackrel{\text{ob.}}{=} e^{-\frac{|s_1 - s_2|}{A}} \quad (9.7)$$



"Richtung" bei s_1 und s_2 ist unkorreliert
für $|s_1 - s_2| \gg A$

$\Rightarrow \lambda, L_{\text{tot}} \gg A$: freiverbundener Ketten - Modell
 \hat{t} Zufallsweg - Modell

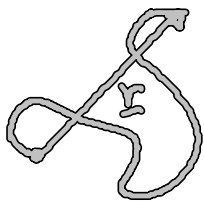


$$L_{\text{seg}} = 2A$$

.. effektive Segmentlänge
Kuhntlänge

L_{tot} phänomenolog. Parameter

$$L_{\text{seg}}? \quad (\text{i}) \langle r^2 \rangle = \left\langle \int ds_1 \hat{t}(s_1) \cdot \int ds_2 \hat{t}(s_2) \right\rangle$$



$$= \int_0^{L_{\text{tot}}} d\xi_1 \int_0^{L_{\text{tot}}} d\xi_2 \langle \hat{i}(\xi_1) \cdot \hat{i}(\xi_2) \rangle^{\text{O.B.}} = 2AL_{\text{tot}} \stackrel{!}{=} 2AL_{\text{seg}} N$$

$\langle \hat{i}_i \cdot \hat{i}_j \rangle = 0 \quad \forall i \neq j$

$$(ii) \langle r^2 \rangle = \sum_{i,j=1}^N \langle (L_{\text{seg}} \hat{i}_i) \cdot (L_{\text{seg}} \hat{i}_j) \rangle \stackrel{i \neq j}{=} N(L_{\text{seg}})^2$$

$$\rightarrow L_{\text{seg}} = 2A \quad !! \quad \text{qed}$$

- DNS: $L_{\text{seg}} \approx 100 \mu\text{m} \rightarrow$ steifer, semiflexibles Polymer
- Polyäthylen: $L_{\text{seg}} \approx 1 \mu\text{m} \rightarrow$ flexibles Poly.
- entropischer Ursprung von Gummi-Elastizität!



3.2 Makromoleküle unter Spannung

3.2.1. Kraft-Dehnungs-Kurve für DNS

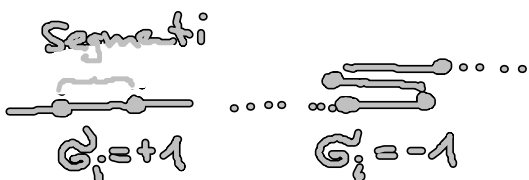
- Exp: optische Pinzette
Glasplatte
DNS: $L_{\text{tot}} = 16.5 \mu\text{m}$

- Resultat: $\varepsilon(f)$
- Berechnung?

3.2.2. 1D-frei verbundenes Kette-Modell

\rightarrow Kreidn A & B

- Zwei-Zustands-Modell:



$$\Rightarrow \text{Ausdehnung: } \varepsilon = L_{\text{seg}}^{(0)} \sum_{i=1}^N G_i \quad (3.8)$$

• Ensemble mit konst. Drehkraft f :

$$f \text{ kongruent zu } z : dE = f dz$$

$$\rightarrow Z = \sum_{\alpha} e^{-(E_{\alpha} - fz)/k_B T}, \text{ hier: } E_{\alpha} = 0$$

oder:

Wahrscheinlichkeit für Konfig.: $\{G_1, \dots, G_N\}$

$$P(G_1, \dots, G_N) = \frac{1}{Z} e^{fz/k_B T} \quad (3.9)$$

→ mittlere Ausdehnung:

$$\begin{aligned} \langle z \rangle &= \sum_{\{G_i = \pm 1\}} p(\dots) z = k_B T \frac{d}{df} \ln Z \\ &= k_B T \frac{d}{df} \ln \left[\sum_{\{G_i = \pm 1\}} e^{f \sum_{i=1}^N G_i / k_B T} \right] \end{aligned}$$

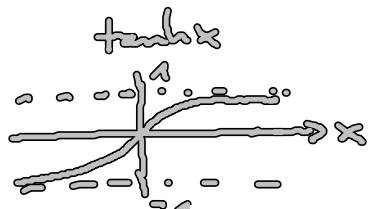
$$\Rightarrow \langle z \rangle = k_B T \frac{d}{df} \ln \left[\left(\sum_{G_1 = \pm 1} e^{f L_{\text{seg}}^{(1)} G_1 / k_B T} \right) \times \dots \times \left(\sum_{G_N = \pm 1} e^{f L_{\text{seg}}^{(N)} G_N / k_B T} \right) \right]$$

$$= k_B T \frac{d}{df} \ln \left(e^{f L_{\text{seg}}^{(1)} / k_B T} + e^{-f L_{\text{seg}}^{(1)} / k_B T} \right)^N$$

$N \ln (\dots)$

$$= N \underbrace{\ln}_{L_{\text{tot}}} \frac{e^{(\dots)} - e^{(-\dots)}}{e^{(\dots)} + e^{(-\dots)}}$$

$$\Rightarrow \boxed{\langle \frac{z}{L_{\text{tot}}} \rangle = \tanh \frac{f L_{\text{seg}}^{(1)}}{k_B T}} \quad (3.10)$$



(i) $\langle z \rangle = \text{const.} \rightarrow f \sim T \triangleq \text{entropischer Effekt}$

(vgl. idealer Gas $p \sim T$)
const. Druck

(ii) $\langle z \rangle \rightarrow L_{\text{tot}}, f \rightarrow \infty$

(iii) $\langle z \rangle = \frac{f}{k}, f \rightarrow 0, k = \frac{k_B T}{L_{\text{tot}}(0)}$
... Hooke'sche Relation
 $\tan x \approx x$

(iv) Ugl. mit Exp. $\rightarrow L_{\text{seg}}^{(10)} \approx 35 \text{ nm}$

Qualitativ: o.k.

quantitativ: 10 \rightarrow 30, kooperatives Ketten-Modell

(v) Analogie zu 1D Kette von unabhängigen Ising spins: $\uparrow \downarrow \triangleq G_i = \pm 1$
 $f \triangleq H \dots \text{Magnetfeld}$
 $\langle z \rangle \triangleq M = \langle G_i \rangle \dots \text{magnetisches Moment}$

3.2.3 1D - Kooperatives Ketten-Modell

\rightarrow Ketten A & B

• Siege-Elastizität von DNA \rightarrow Ww der Segmente:

$$E(\text{---}) < E(\text{=})$$

\rightarrow Ising-Modell: Hamiltonian: $\frac{H}{k_B T} = -J \sum_{i=1}^{N-1} G_i G_{i+1}$ (9.1)

mikroskop. Energie

"Ising" \rightarrow Ferromagnetismus

\rightarrow das Modellsystem der stat. Physik

hier: N Segmente (Länge l): $G_i = \underbrace{\text{---}}_{\pm l} : -\gamma k_B T \quad \left. \begin{array}{l} \\ \end{array} \right\} \text{Ww-energie} \%$

$\underbrace{\text{---}}_{\pm l} : \gamma^2 k_B T \quad \left. \begin{array}{l} \\ \end{array} \right\}$

$l, \gamma \dots$ phänomenolog. Parameter

• Zustandssumme mit $f \neq 0$: $\alpha = \sum_{i=1}^{N-1} G_i$

$$\Xi(\alpha) = \sum e^{-\frac{H-\alpha f}{k_B T}} = \sum_{\{G_i = \pm l\}} \left[e^{\alpha \sum_i G_i} + \gamma^2 \sum_{i=1}^{N-1} G_i G_{i+1} \right] \quad (3.12)$$

$$\Rightarrow \langle z \rangle = \sum L \frac{d}{df} \ln \Xi(f) = L \frac{d}{d\alpha} \ln \Xi(\alpha) = -\frac{\partial F(T, f)}{\partial f} \quad (3.13)$$

mit $F(T, f) = -k_B T \ln \Xi(f)$

• $\Xi(\alpha) \approx ?$ (H.Kramers & G.Wannier (1941). Ferromagnet)

Folien!

(vi) $f \approx \alpha \rightarrow 0$: $\sinh \alpha \approx \alpha$

$$\Rightarrow \langle z \rangle \approx \frac{1}{2} f \text{ mit } k = \frac{k_B T}{e^2 \mu_0 L_{tot}} \quad (3.13) \quad (\text{vgl. 9.2.2})$$

(vii) vgl. Fig. 9.4: $le^{2f} = 25 \text{ nm}, \gamma \gg 1$
 $= L_{seg}^{(40)}$

• Sehr guter Fit: 3D - kooperatives Ketten - Modell
- elastisches Stab - Modell

$$A = 51 \text{ nm}$$

→ Erfolg des phänomenolog. Modells !!

$$A \gg 2 \text{ nm} = \phi(0.05)$$